E1214 Fundamentos de las Comunicaciones
E0214 Comunicaciones
E0311/E1311 Comunicaciones

Curso 2024

Comunicaciones Humanas por Voz

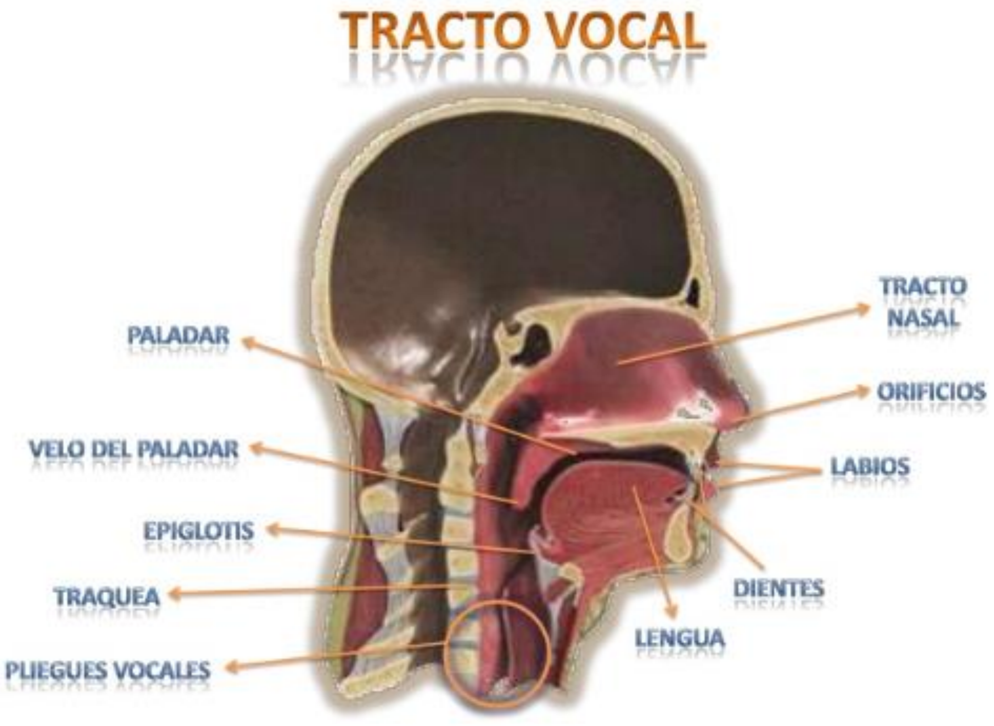

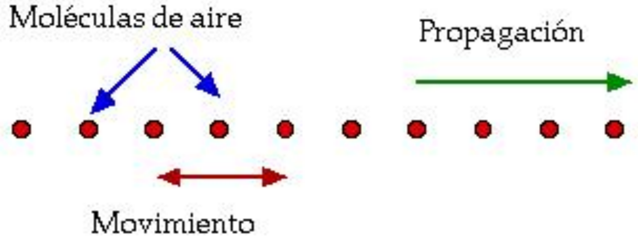

Tx

Nuestro receptor

- **E** Oído Externo.
- **M** Oído Medio
- **I** Oído Interno

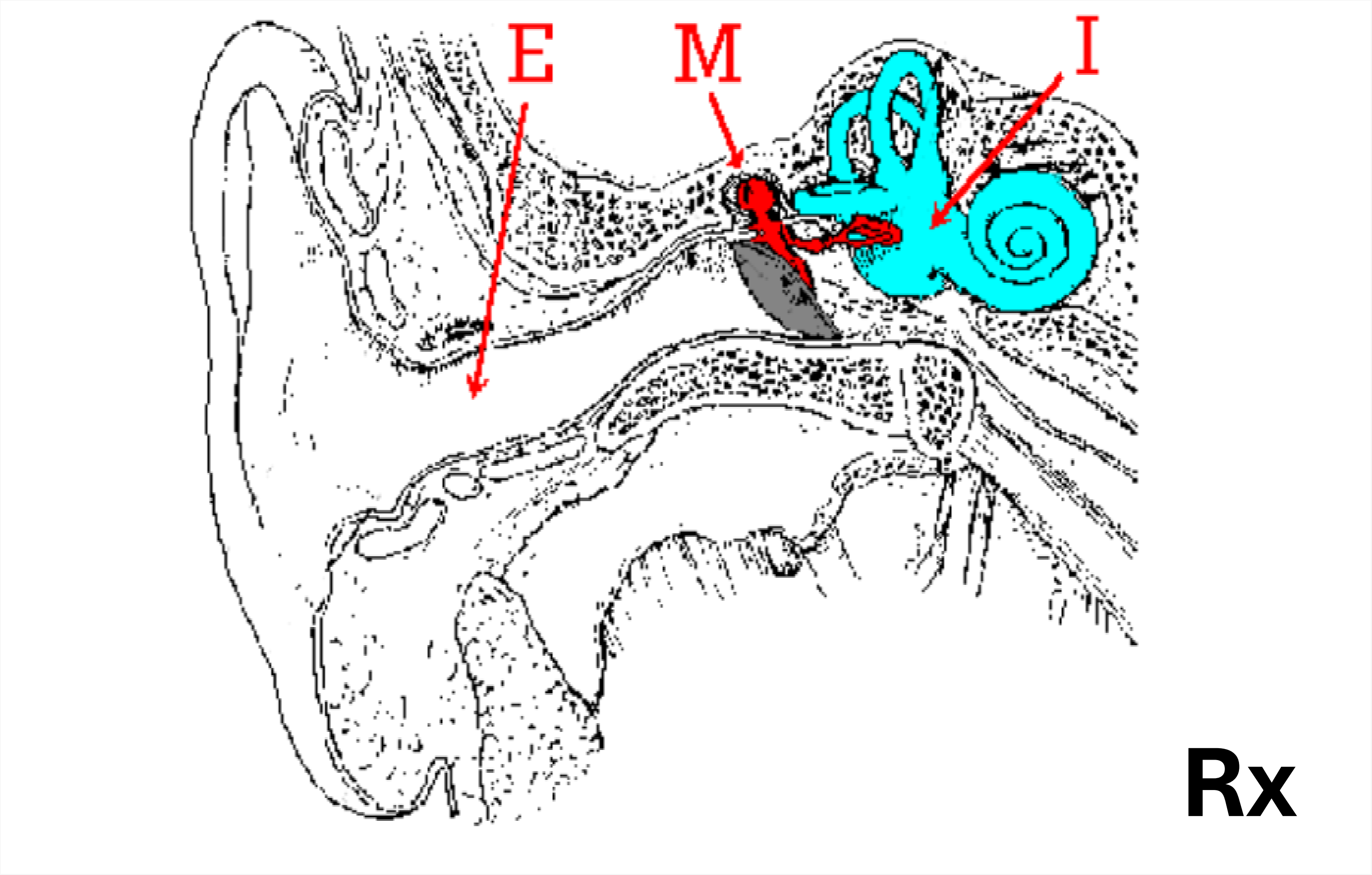

Modelado

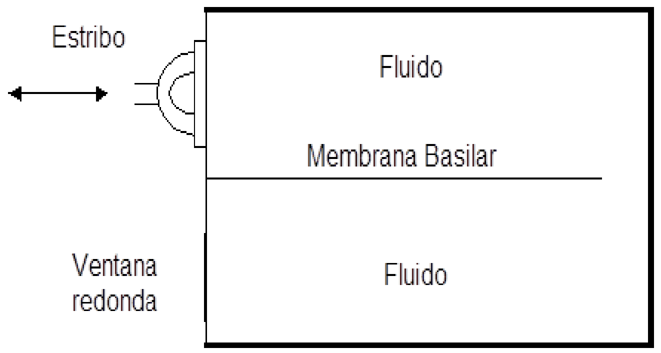

Modelo Lineal

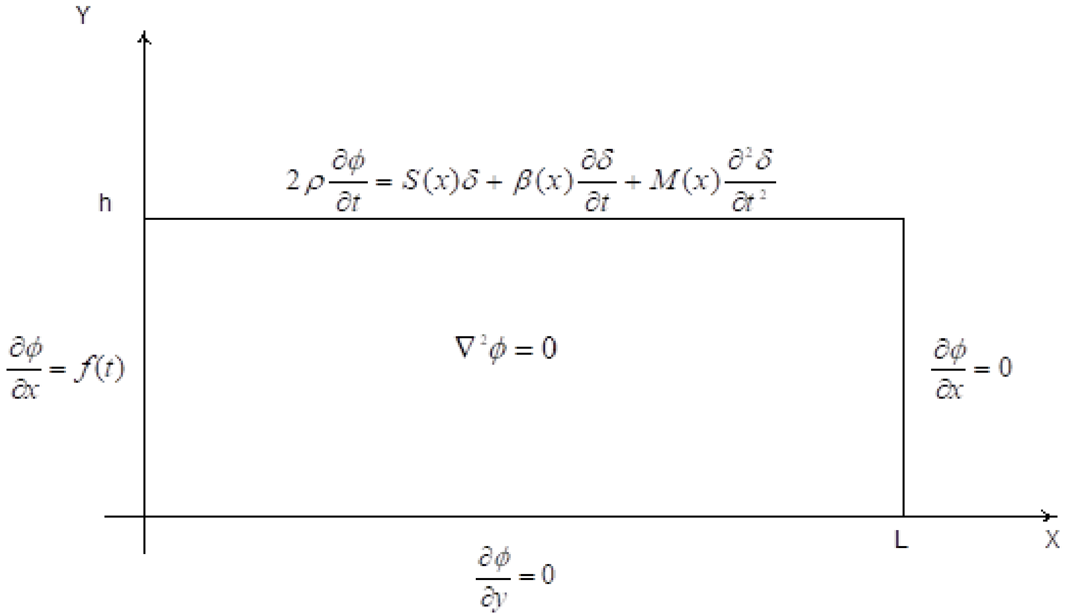

Modelo Lineal

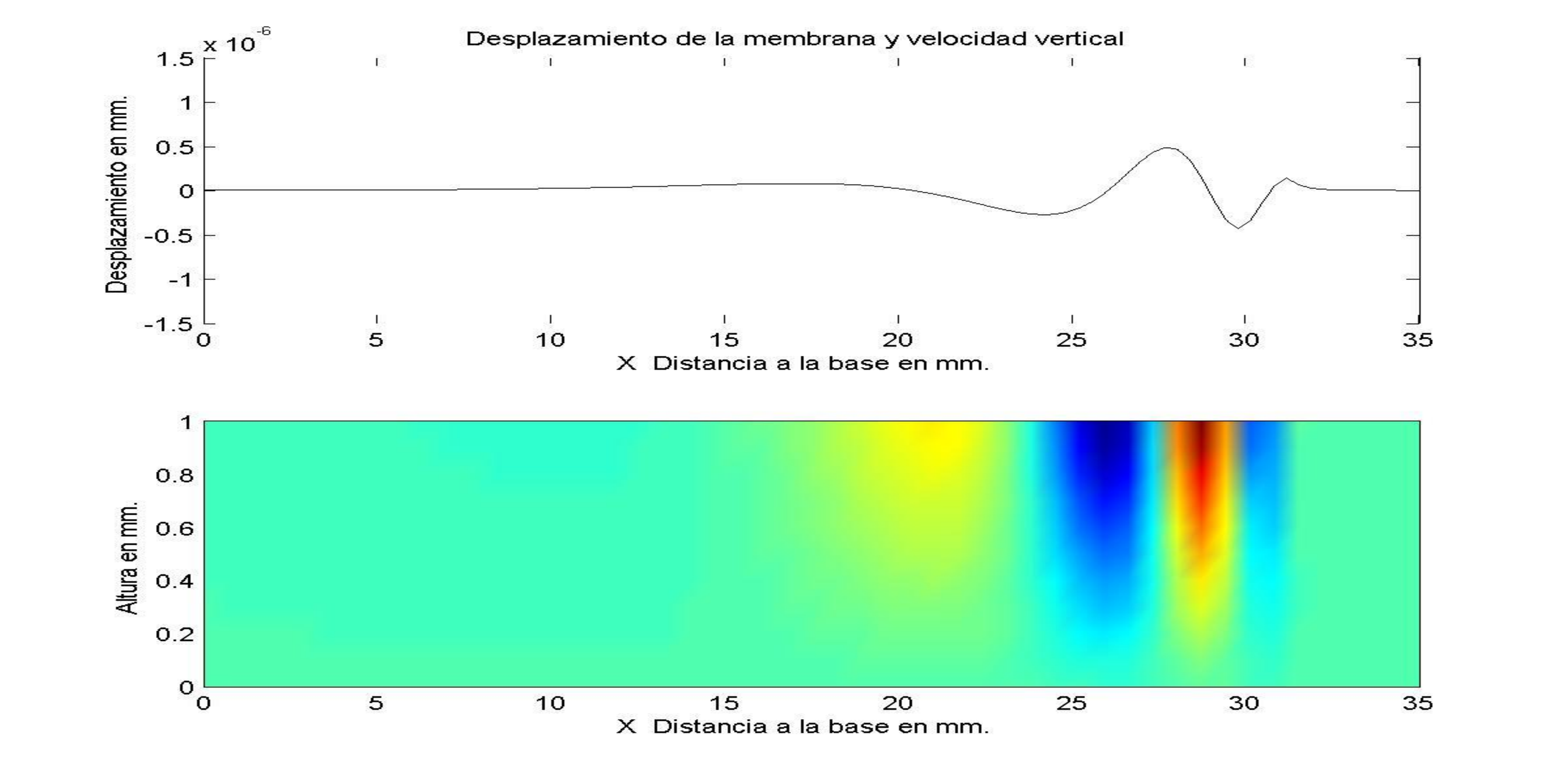

Simple Modelo de un Sistema de Comunicaciones

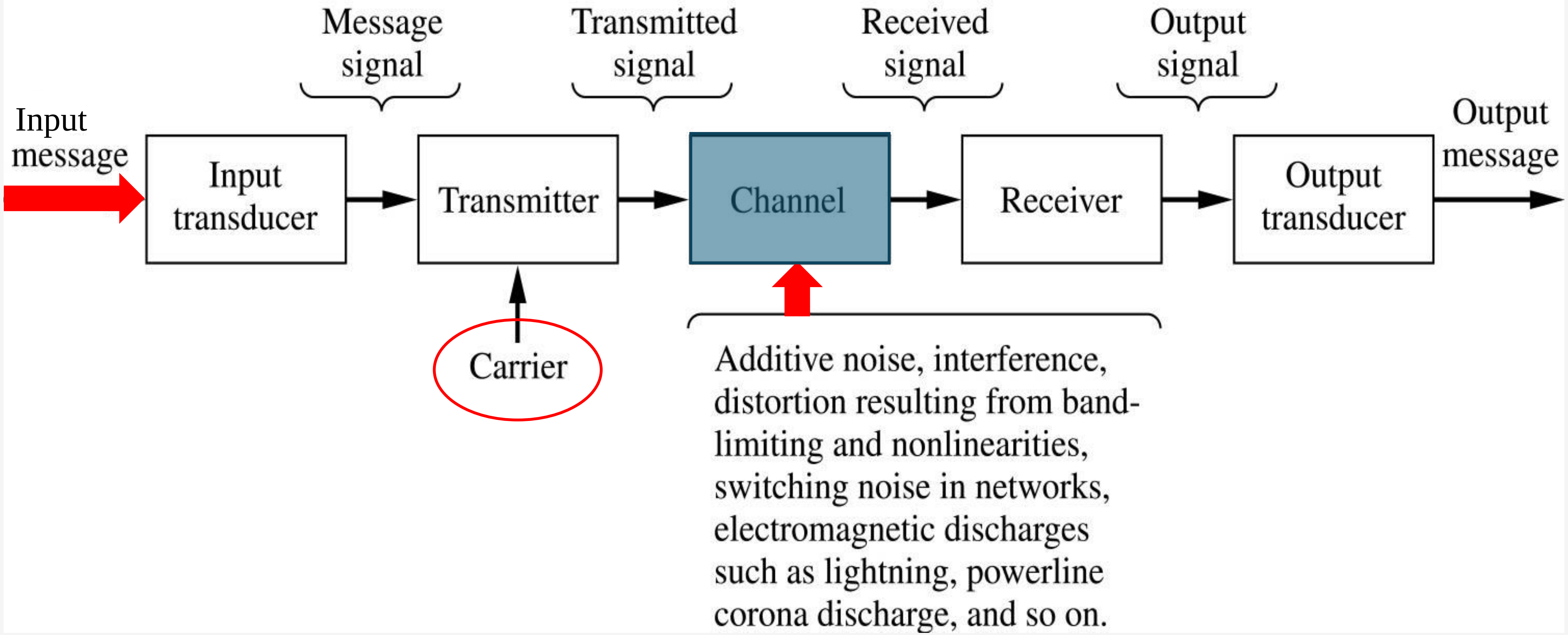

- Principles of Communications, 5/E by Rodger Ziemer and William Tranter, John Wiley & Sons. Inc.

Bandas de Frecuencia

Banda	Nombre	Banda (GHz)	Denominación	
3--30 kHz	Very low frequency (VLF)			
30--300 kHz	Low frequency (LF)			
300--3000 kHz	Medium frequency (MF)			
3--30 MHz	High frequency (HF)			
30--300 MHz	Very high frequency (VHF)			FM comercial
0.3--3 GHz	Ultrahigh frequency (UHF)	1.0--2.0	L	SAOCOM, DCS, ADS-B
		2.0--3.0	S	
3--30 GHz	Super high frequency (SHF)	3.0--4.0	S	
		4.0--6.0	C	ARSAT 2
		6.0--8.0	C	
		8.0--10.0	X	
		10.0--12.4	X	
		12.4--18.0	Ku	Transponders ARSAT 1 y 2
		18.0--20.0	K	
		20.0--26.5	K	
30--300 GHz	Extremely high frequency (EHF)	26.5--40.0	Ka	
43--430 THz	Infrared (0.7--7 µm)			
430--750 THz	Visible light (0.4--0.7 µm)			
750--3000 THz	Ultraviolet (0.1--0.4 µm)			

Canal inalámbrico

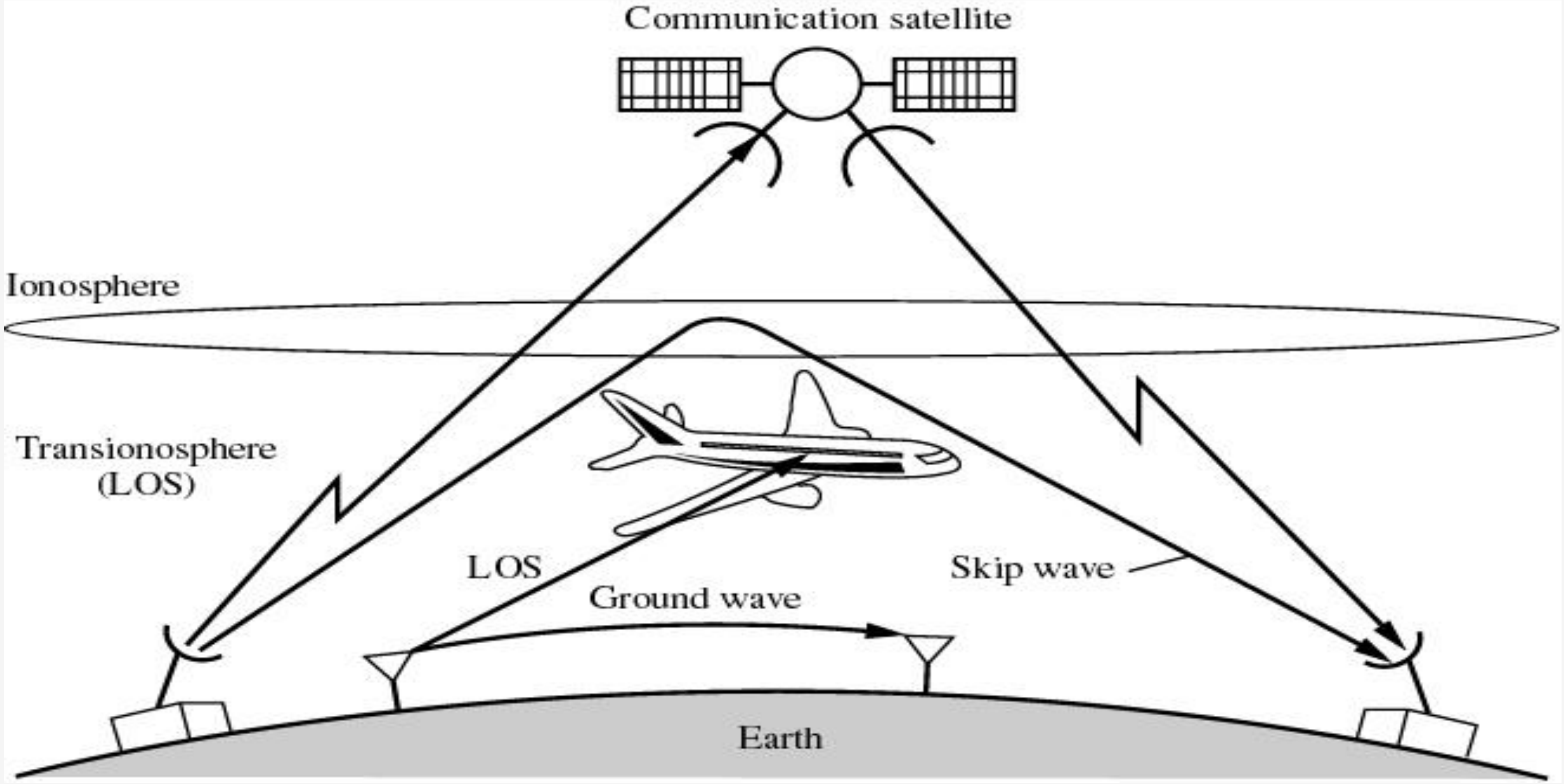

- Principles of Communications, 5/E by Rodger Ziemer and William Tranter, John Wiley & Sons. Inc.

Canal inalámbrico

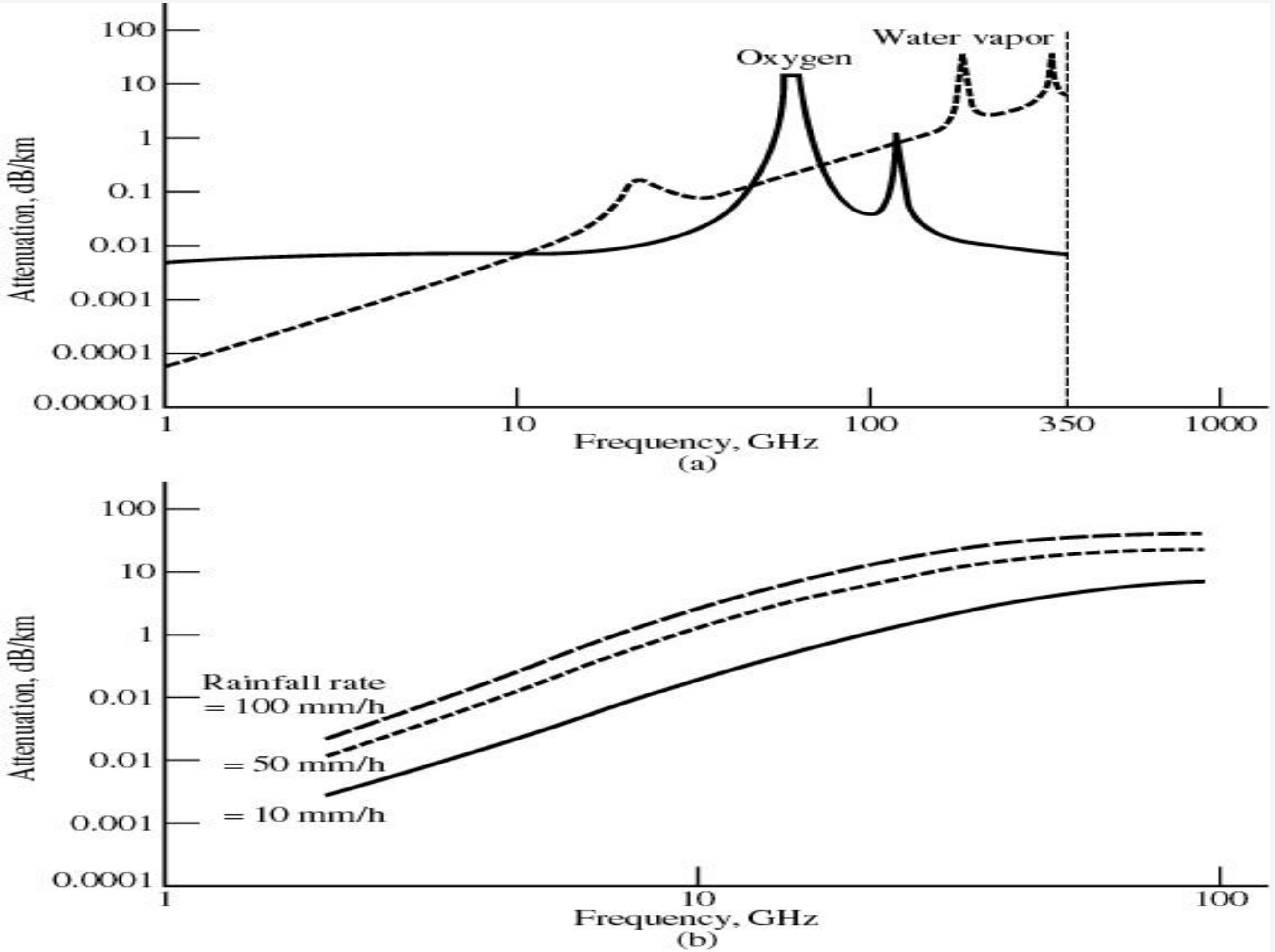

- Principles of Communications, 5/E by Rodger Ziemer and William Tranter, John Wiley & Sons. Inc.

Canales confinados

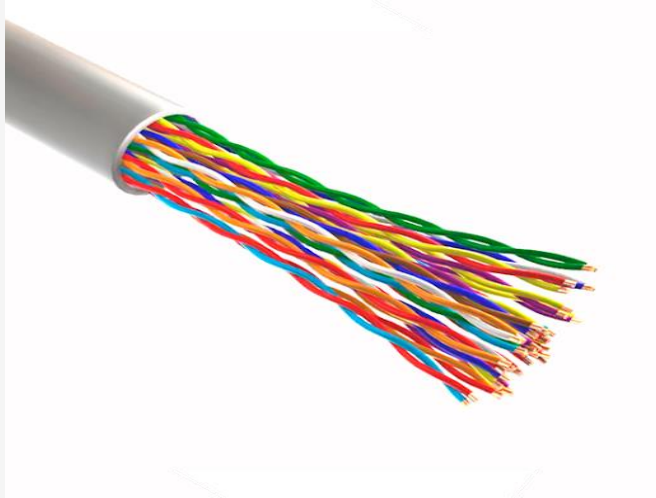

Canales confinados

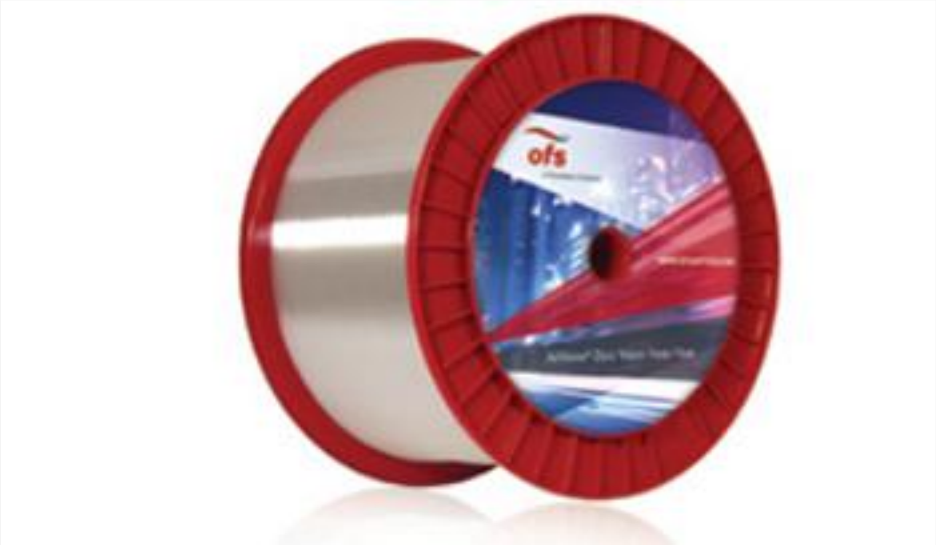

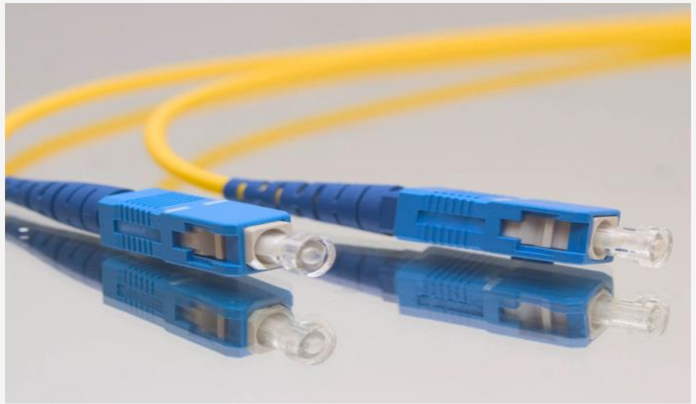

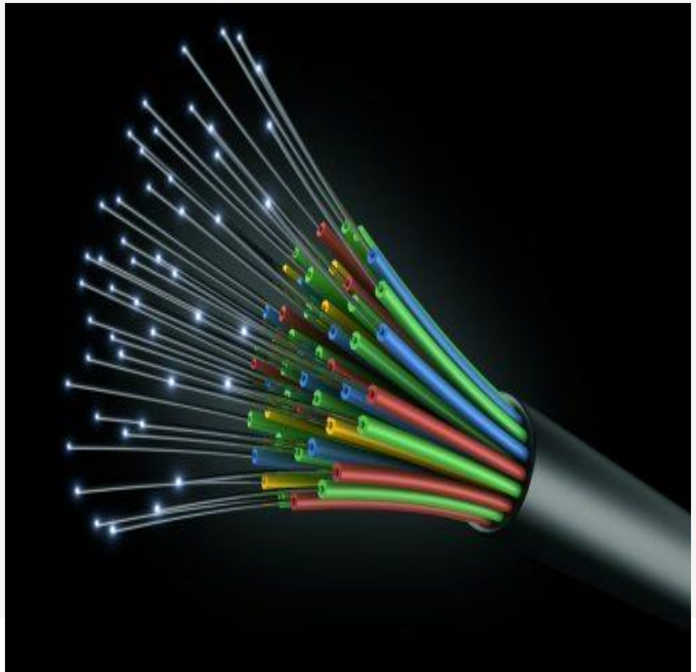

Canales

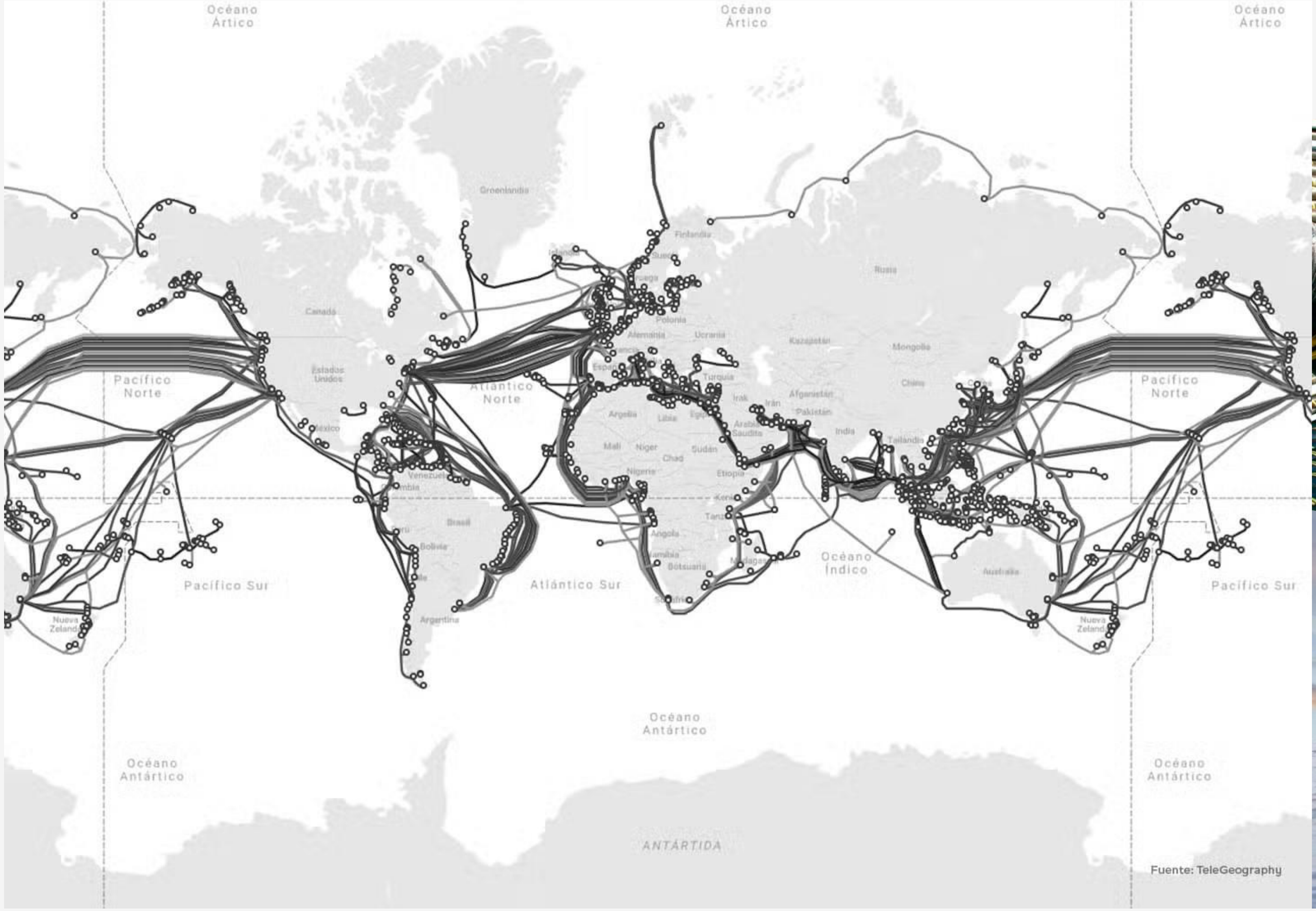
Océano Ártico
Océano Ártico
Océano Ártico
Pacífico Norte
Atlántico Norte
Pacífico Norte
Pacífico Sur
Atlántico Sur
Océano Índico
Pacífico Sur
Océano Antártico
Océano Antártico
Océano Antártico
ANTÁRTIDA
Fuente: TeleGeography

Coordinación y Regulación

UIT (ITU) Unión Internacional de las Telecomunicaciones

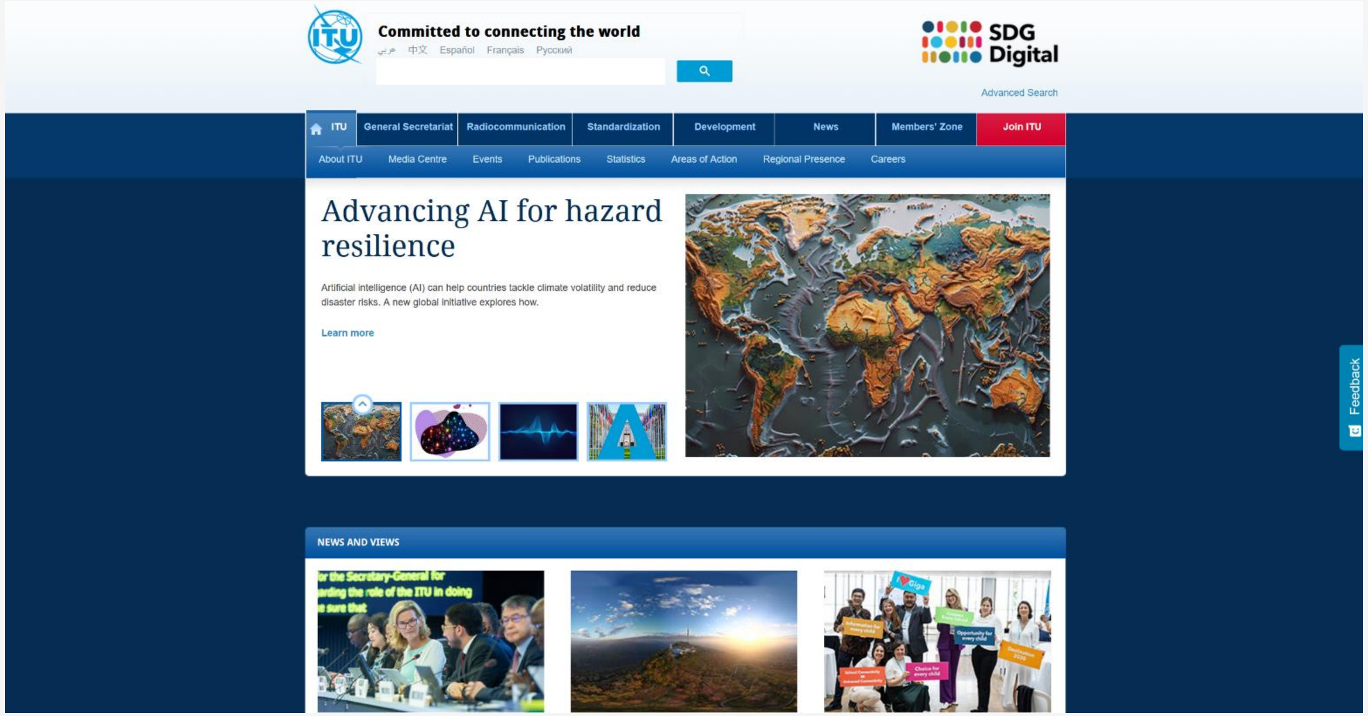

www.itu.int

Radiocomunicaciones **Normalización** **Desarrollo**

ITU - Regiones

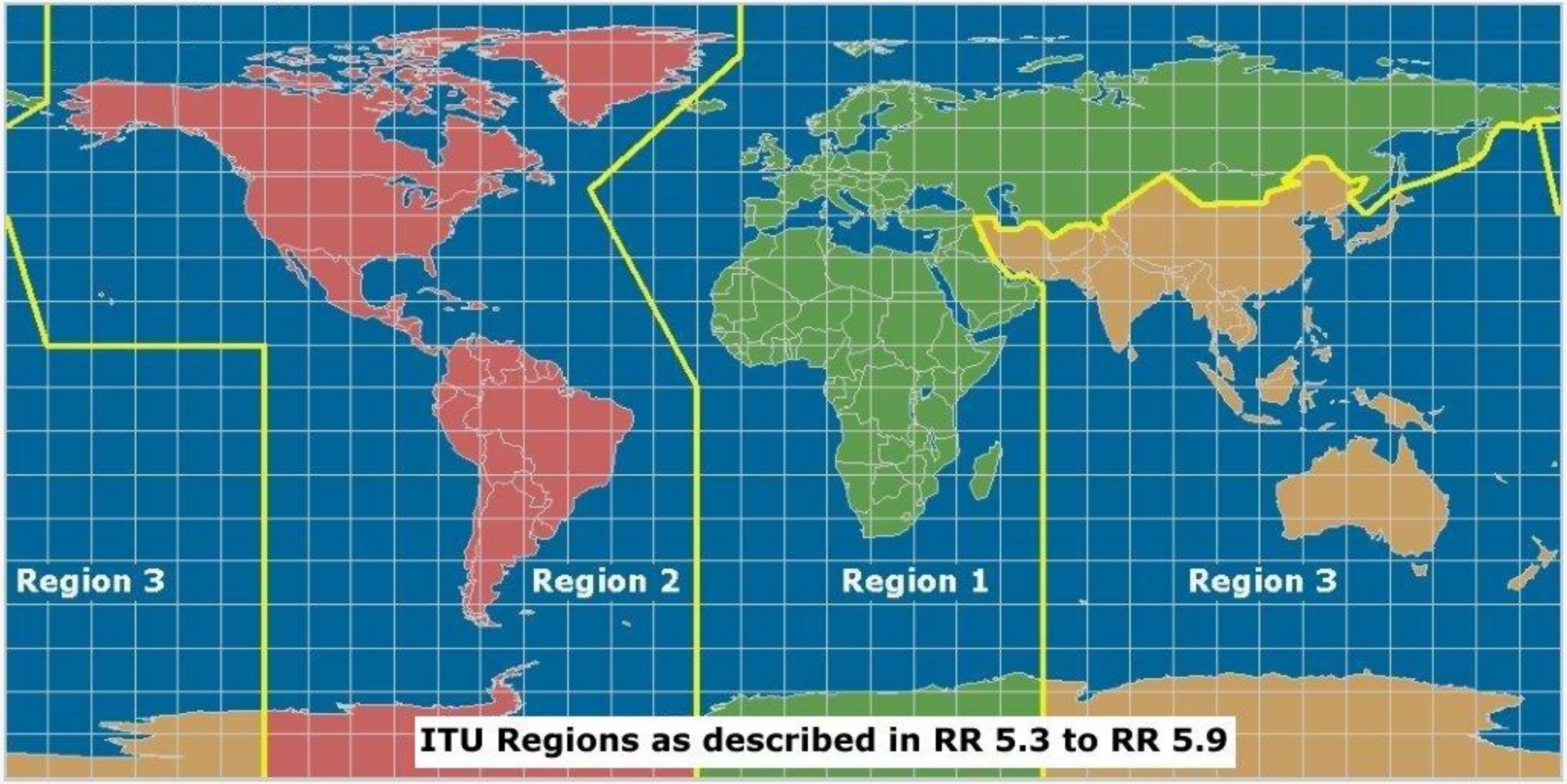

El Sector de Radiocomunicaciones UIT-R

- Gestión global del espectro de radio-frecuencias y la órbita de satélites
  - Estableciendo:
    - Reglamentación Internacional
    - Normas, Recomendaciones, Informes, Manuales…
    - Asistencia a los miembros

MIFR
Registro Internacional de Frecuencias

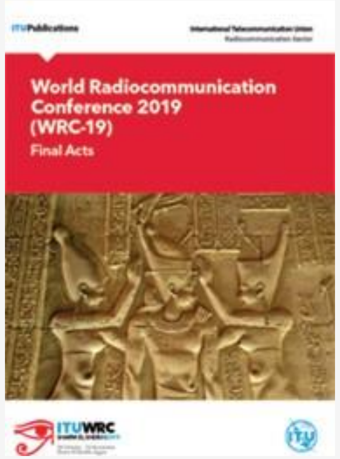

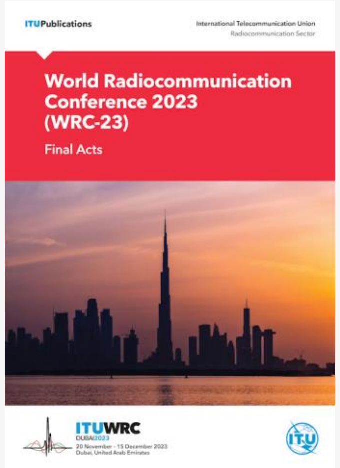

World Radiocommunication Conference 2023 (WRC-23)
20 November - 15 December 2023 Dubai, United Arab Emirates (UAE)

World Radiocommunication Conference 2019 (WRC-19)
28 October - 22 November 2019 Sharm el-Sheikh, Egypt

World Radiocommunication Conference 2015 (WRC-15)
2-27 November 2015 Geneva, Switzerland

Grupos de Estudio (UIT-R)

Comisiones de Estudio

- Comisión de Estudio 1 (CE 1)
  Gestión del espectro
- Comisión de Estudio 3 (CE 3)
  Propagación de las ondas radioeléctricas
- Comisión de Estudio 4 (CE 4)
  Servicios por satélite
- Comisión de Estudio 5 (CE 5)
  Servicios terrenales
- Comisión de Estudio 6 (CE 6)
  Servicio de radiodifusión
- Comisión de Estudio 7 (CE 7)
  Servicios científicos

Grupos Conexos

- Comité de Coordinación del Vocabulario (CCV)
- Reunión Preparatoria de Conferencias (RPC)
- Chairmen and Vice-Chairmen Meeting (CVC)

En Argentina – ENACOM (Ente Nacional de Comunicaciones)

www.enacom.gob.ar

Cuadro de Atribución de Bandas de Frecuencias de la República Argentina (CABFRA)

RANGO DE FRECUENCIA
401 - 401,75
OBSERVACIONES GENERALES

SERVICIO (T10)	TIPO DE SERVICIO	CARACTERÍSTICAS	NORMATIVA
Servicio de Ayudas a la Meteorología - SAM	FIJO/MOVIL		RR UIT/R2 – Art. 5
Servicio de Operaciones Espaciales - SOS	FIJO/MOVIL		RR UIT/R2 – Art. 5
Serv. de Exploración de la Tierra por Sat. - SETS	FIJO/MOVIL		RR UIT/R2 – Art. 5
Servicio de Meteorología por Satélite - SMES	FIJO/MOVIL		RR UIT/R2 – Art. 5
Sistema de Radiocom. para uso Médico - SRMED	FIJO/MOVIL	Categoría Secundaria (401 – 406 MHz)	4479ENACOM17 4665ENACOM17

RR UIT/R2 Reglamento de Radiocomunicaciones de la Unión Internacional de Telecomunicaciones, Región 2

Modelos para la señal

	VID	**VIC**
•	$x[n]$	$x(t)$
•	$X[n]$	$X(t)$

Modelo de señal DETERMINÍSTICO

Modelo de señal ALEATORIO

<u>Modelo DETERMINÍSTICO</u>

- Valor medio de una señal

$$\overline{x[n]} = < x[n] > = \lim_{N\to\infty} \frac{1}{2N+1} \sum_{n=-N}^{N} x[n]$$

$$\overline{x(t)} = < x(t) > = \lim_{T\to\infty} \frac{1}{2T} \int_{-T}^{T} x(t)\, dt$$

¿Cómo se refleja en el dominio de la frecuencia el hecho que una señal tenga valor medio no nulo?

MATLAB

- `sum(x)./N;`
- `mean(x);`

Señales de Energía

<u>Modelo DETERMINÍSTICO</u> (cont.)

- Energía de una señal

$$\varepsilon_x = \sum_{n=-\infty}^{\infty} |x[n]|^2$$

$$\varepsilon_x = \int_{-\infty}^{\infty} |x(t)|^2 \, dt$$

MATLAB

- `sum(x.^2);`

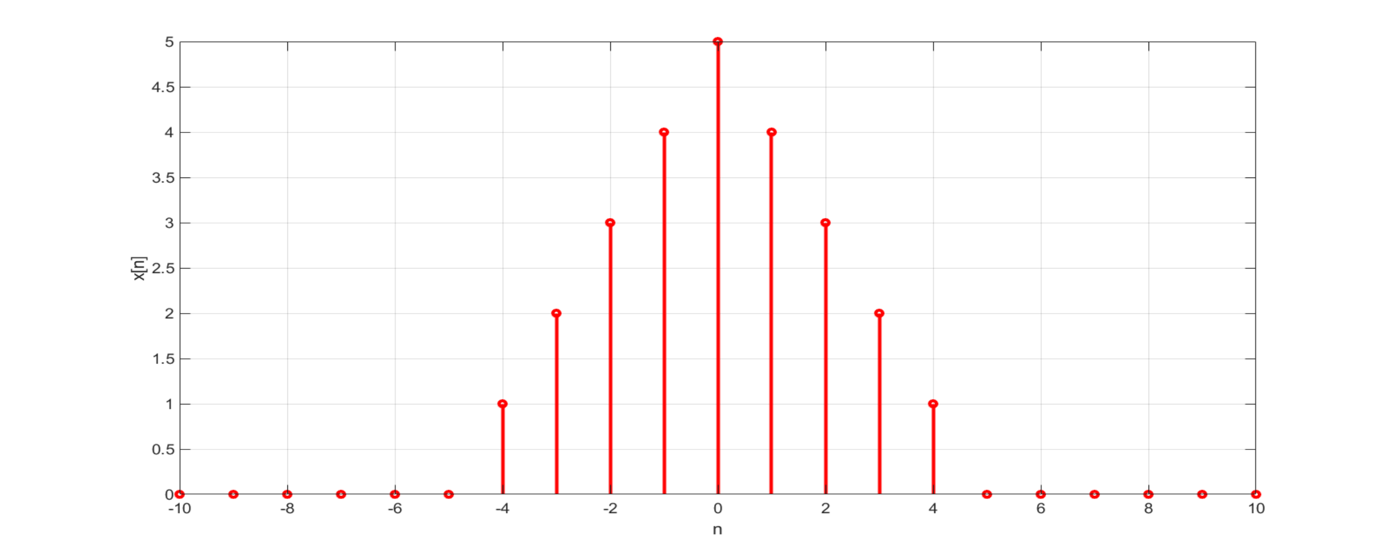

Si la señal tiene valor medio no nulo … ¿puede ser una señal de energía?

```
>> Ex=sum(x.^2);

>> Ex = 85
```

Señales de Potencia

- Potencia de una señal

¿Qué característica tiene el contenido en frecuencia de una señal de potencia?

$$P_x = \lim_{N\to\infty} \frac{1}{2N+1} \sum_{n=-N}^{N} |x[n]|^2 =< |x[n]|^2 >$$

$$P_x = \lim_{T\to\infty} \frac{1}{2T} \int_{-T}^{T} |x(t)|^2\, dt =< |x(t)|^2 >$$

$$P_x = \lim_{N\to\infty} \frac{1}{2N+1} \sum_{n=-\infty}^{\infty} |x_N[n]|^2$$

$$P_x = \lim_{T\to\infty} \frac{1}{2T} \int_{-\infty}^{\infty} |x_T(t)|^2\, dt$$

$$P_x = \lim_{N\to\infty} \frac{\varepsilon_{x_N}}{2N+1}$$

$$P_x = \lim_{T\to\infty} \frac{\varepsilon_{x_T}}{2T}$$

$|x(t)|^2$ ← Potencia instantánea

P_x: Potencia MEDIA NORMALIZADA

¿Cuánto es la potencia de una señal de energía?

MATLAB

- `sum(abs(x).^2)./N;`
- `mean(abs(x).^2);`

Señales de potencia (señal periódica)

- Potencia de una señal periódica $\exists\, T \varepsilon \mathbb{R} \,/ y(t) = y(t+T) \;\; \forall t$

¿Cuál es la característica notoria del contenido en frecuencia de una señal periódica?

$$y(t) = \sum_{k=-\infty}^{\infty} C_k e^{j\,2\,\pi \frac{k}{T} t}$$

$$C_k = \frac{1}{T} \mathcal{F}\{y_p(t)\} \text{ en } f = \frac{k}{T} \,,\; k \in \mathbb{Z}$$

$$C_0 =< y(t) >$$

$$P_y =< |y(t)|^2 > =< y(t) y^*(t) >$$

$$P_y = < \sum_{k=-\infty}^{\infty} C_k e^{j\,2\,\pi \frac{k}{T} t} \sum_{l=-\infty}^{\infty} C_l^* e^{-j\,2\,\pi \frac{l}{T} t} >$$

$$P_y = \sum_{k=-\infty}^{\infty} \sum_{l=-\infty}^{\infty} C_k C_l^* < e^{j\,2\,\pi \frac{(k-l)}{T} t} >$$

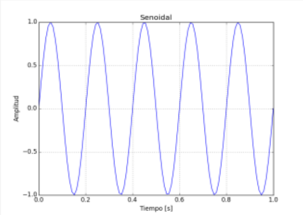

¿Cómo extendería este análisis en el caso de una señal periódica de VID?

$$\boxed{P_y = \sum_{k=-\infty}^{\infty} |C_k|^2}$$

MATLAB

Generar muestras de una señal sinusoidal de frecuencia fo arbitraria y amplitud unitaria . ¿Por qué seguramente el valor medio calculado de la señal no resulta ser exactamente cero? ¿Cuánto vale su potencia media normalizada?

Correlación (modelo determinístico)

Función de Inter-correlación:

$$r_{xy}(\tau) = \int_{-\infty}^{\infty} x(t+\tau)\, y^*(t)\, dt$$

p/ señales de energía

$$r_{xy}(\tau) = \lim_{T\to\infty} \frac{1}{2T} \int_{-T}^{T} x(t+\tau)\, y^*(t)\, dt$$

p/ señales de potencia

$$r_{xy}(\tau) = < x(t+\tau)\, y^*(t) >$$

Función de Auto-correlación:

$$r_{xx}(\tau) = \int_{-\infty}^{\infty} x(t+\tau)\, x^*(t)\, dt$$

$$r_{xx}(0) = \varepsilon_x$$

$$r_{xx}(\tau) = \lim_{T\to\infty} \frac{1}{2T} \int_{-T}^{T} x(t+\tau)\, x^*(t)\, dt$$

$$r_{xx}(0) = P_x$$

$$r_{xx}(\tau) = < x(t+\tau)\, x^*(t) >$$

Correlación (cont.)

$$r_{xx}(\tau) = \int_{-\infty}^{\infty} x(t+\tau)\, x^*(t)\, dt \overset{\lambda = t+\tau}{=} \int_{-\infty}^{\infty} x(\lambda) x^*(-(\tau-\lambda))\, d\lambda = \{x * x^{\bar{*}}\}(\tau)$$

$$x(t) = A \sqcap \left(\frac{t}{2}\right)$$

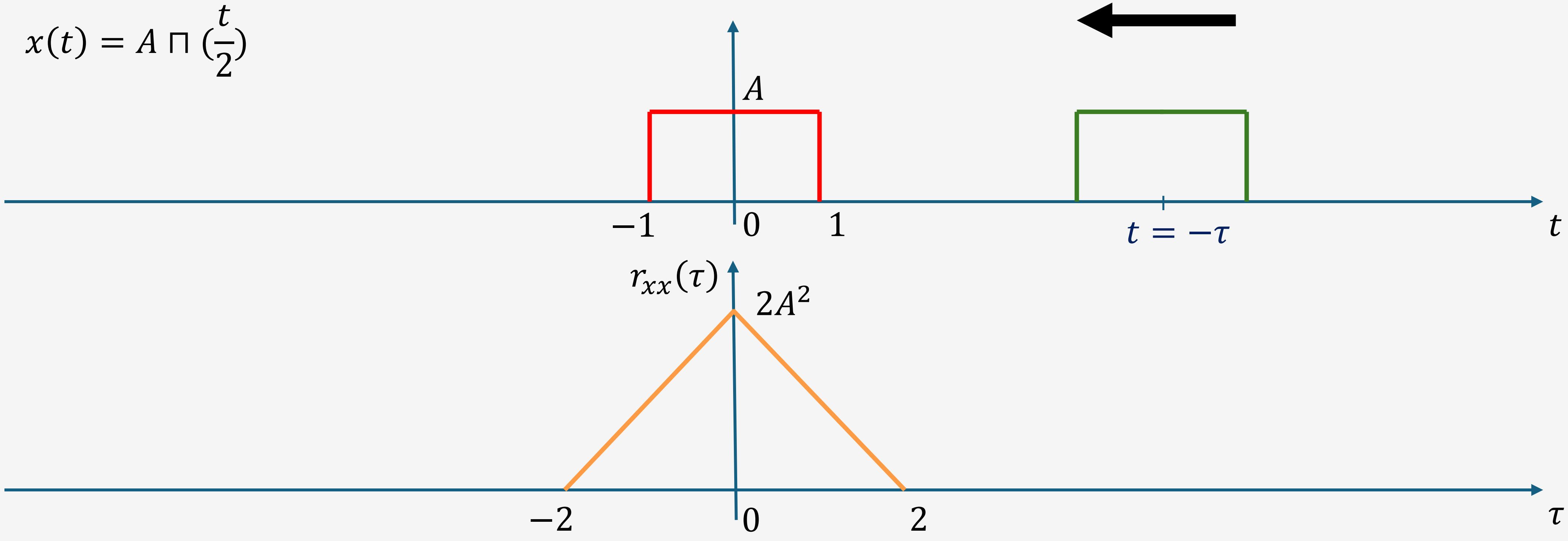

Correlación (cont.)

- Propiedades de la función de auto-correlación

$$r_{xx}(\tau) = \int_{-\infty}^{\infty} x(t+\tau)\, x^*(t)\, dt$$

$$r_{xx}(\tau) = \lim_{T\to\infty} \frac{1}{2T} \int_{-T}^{T} x(t+\tau)\, x^*(t)\, dt$$

- $r_{xx}(0) = \varepsilon_x \qquad r_{xx}(0) = P_x$
- $|r_{xx}(\tau)| \leq r_{xx}(0)$
- $r_{xx}(\tau) = {r_{xx}}^*(-\tau)$
- $\lim_{|\tau|\to\infty} r_{xx}(\tau) =< x(t) >^2$
- $\mathcal{F}\{r_{xx}(\tau)\} \geq 0$
- Si $x(t)$ es periódica de período To en t, entonces $r_{xx}(\tau)$ es periódica de período To en τ.

dee y dep

densidad espectral de energía:
(dee)

$$r_{xx}(\tau) = \int_{-\infty}^{\infty} x(t+\tau)\, x^*(t)\, dt$$

$$r_{xx}(0) = \varepsilon_x$$

T. de Parseval

$$\varepsilon_x = \int_{-\infty}^{\infty} |x(t)|^2\, dt = \int_{-\infty}^{\infty} |X(f)|^2\, df$$

$$\boxed{s_{xx}(f) \triangleq |X(f)|^2}$$

densidad espectral de potencia:
(dep)

$$r_{xx}(\tau) = \lim_{T\to\infty} \frac{1}{2T} \int_{-T}^{T} x(t+\tau)\, x^*(t)\, dt$$

$$r_{xx}(0) = P_x$$

$$P_x = \lim_{T\to\infty} \frac{1}{2T} \int_{-T}^{T} |x(t)|^2 dt = \lim_{T\to\infty} \frac{1}{2T} \int_{-\infty}^{\infty} |x_T(t)|^2 dt = \int_{-\infty}^{\infty} \lim_{T\to\infty} \frac{|X^T(f)|^2}{2T}\, df$$

$$X^T(f) = \mathcal{F}\{x_T(t)\}$$

$$\boxed{s_{xx}(f) \triangleq \lim_{T\to\infty} \frac{|X^T(f)|^2}{2T}}$$

¿TF (TFTD) / dee y dep? Ejemplo

$$s_{xx}(f) \triangleq \lim_{T\to\infty} \frac{|X^T(f)|^2}{2T} \quad \text{donde} \quad X^T(f) = \mathcal{F}\{x_T(t)\}$$

$$x(t) = A\,u(t)$$

$$X(f) = \frac{A}{j\,2\pi f} + \frac{A}{2}\delta(f)$$

$$x_T(t) = A \sqcap \left(\frac{t - \frac{T}{2}}{T}\right)$$

$$|X^T(f)|^2 = (AT)^2\, sinc^2(Tf)$$

$$s_{xx}(f) = \frac{A}{2}\delta(f)$$

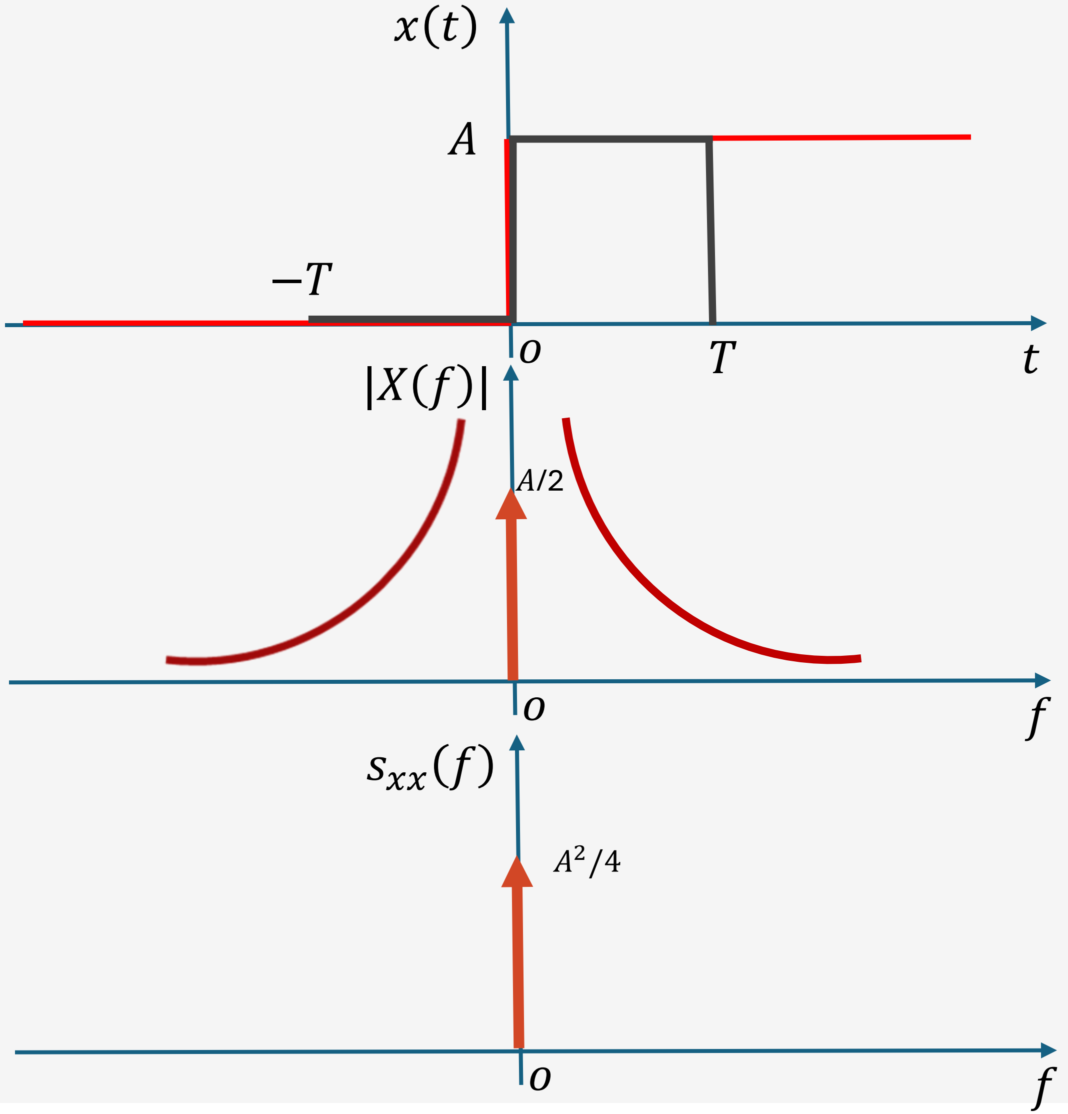

Relación de **Wiener - Khinchin**

$$s_{xx}(f) \triangleq \lim_{T\to\infty} \frac{|X^T(f)|^2}{2T} = \lim_{T\to\infty} \frac{1}{2T} \int_{-T}^{T} x(\alpha) e^{-j2\pi f\alpha} d\alpha \int_{-T}^{T} x^*(\beta) e^{j2\pi f\beta} d\beta =$$

$$= \lim_{T\to\infty} \frac{1}{2T} \iint_{-T}^{T} x(\alpha) x^*(\beta)\, e^{-j2\pi f(\alpha-\beta)}\, d\alpha\, d\beta$$

$\tau = \alpha - \beta \qquad d\tau = d\alpha$

$t = \beta \qquad dt = d\beta$

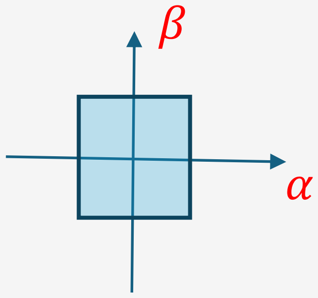

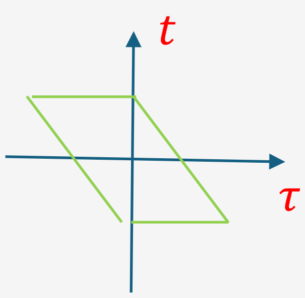

$$s_{xx}(f) = \lim_{T\to\infty} [\int_{-2T}^{0} \frac{1}{2T} \int_{-T-\tau}^{T} x(t+\tau) x^*(t)\, dt\; e^{-j2\pi f\tau} d\tau + \int_{0}^{2T} \frac{1}{2T} \int_{-T}^{T-\tau} x(t+\tau) x^*(t)\, dt\; e^{-j2\pi f\tau} d\tau\,]$$

$$s_{xx}(f) = \int_{-\infty}^{0} < x(t+\tau) x^*(t) > e^{-j2\pi f\tau} d\tau + \int_{0}^{\infty} < x(t+\tau) x^*(t) > e^{-j2\pi f\tau} d\tau$$

$$\boxed{s_{xx}(f) = \mathcal{F}\{r_{xx}(\tau)\}}$$

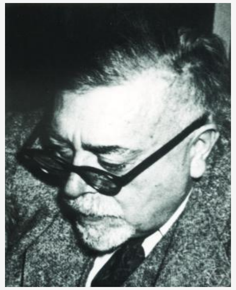

Norbert Wiener

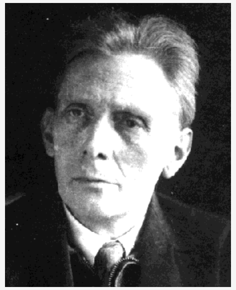

Aleksandr Khinchin

Valor medio, Correlación y SLITs

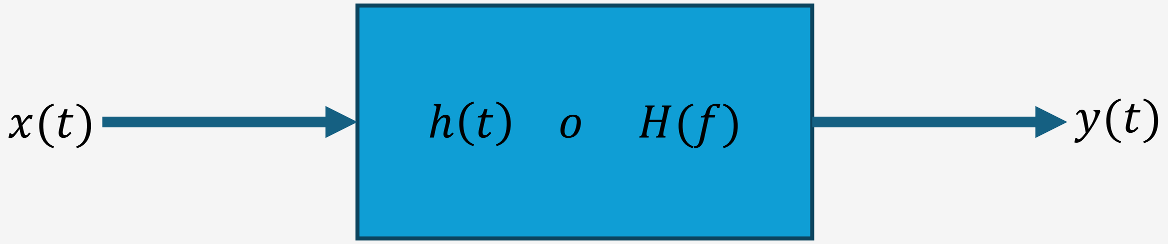

$$y(t) = \{x * h\}(t)$$

$$< y(t) > = < x(t) > H(0)$$

$$r_{yy}(\tau) = \{r_{xx} * h * h^{\bar{*}}\}(\tau) = \{r_{xx} * r_{hh}\}(\tau)$$

$$s_{yy}(f) = s_{xx}(f)\, H(f)\, H^{*}(f)$$

$$\boxed{s_{yy}(f) = s_{xx}(f)\, |H(f)|^2}$$

Ejemplo

Suponga la salida de un generador de señales de RF (en el ATEI puede experimentar ...)

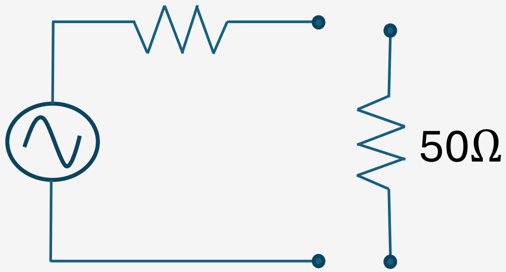

$$x(t) = A\ \sin(2\pi f_p t + \theta) \quad [\mathrm{V}] \qquad T = 1/f_p \qquad P_x = \sum_{k=-\infty}^{\infty} |C_k|^2$$

$$|C_1| = |C_{-1}| = A/2 \qquad P_x = A^2/2 \quad [\mathrm{V}^2]$$

$$P_x = A^2/(2R) \quad [\mathrm{V}^2/\,\Omega]:\ [\mathrm{W}]$$

Si R=50Ω

$$A[\mathrm{V}] = \sqrt[2]{100[\Omega]\ P_x[\mathrm{W}]}$$

¿Por qué el valor de P_x no es función de la fase inicial θ?

dB, dBm, dBW …

x [dB]= $10 \log x$ dB: adimensional (si x es adimensional) … solo indica que se usa 10 log (.)

Tx → Canal → Rx

Ventajas: - "Compresión" de la escala de valores
- Multiplicaciones y divisiones $\xrightarrow{\text{log}}$ Sumas y restas

Si P es potencia en W P [dBW]= $10 \log P$[W]

P[mW] P [dBm]= $10 \log P$[mW]

P[mW] = P[W] * 1000

P [dBm]= P[dBW]+30 [dB]

Un Rx que tiene una sensibilidad de -130dBm, implica que funciona correctamente cumpliendo todos los requerimientos para una potencia recibida de $P_R = 10^{-13}$mW =100 fW

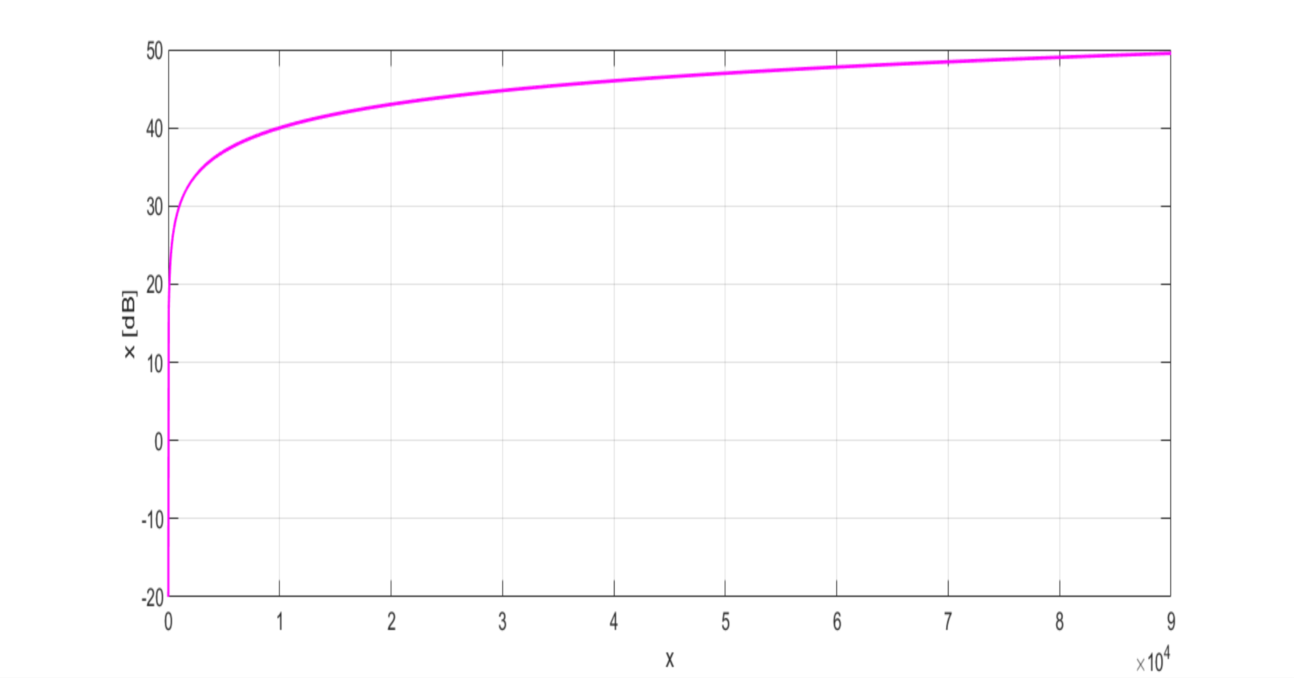

dB, dBm, dBW ...

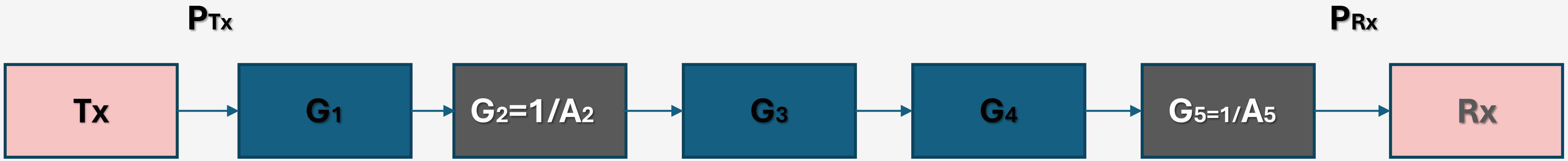

$$P_{Rx}[mW] = P_{Tx}\,[mW]\,\frac{G_1 G_3 G_4}{A_2\,A_5}$$

$$P_{Rx}[\mathrm{dBm}] = P_{Tx}\,[\mathrm{dBm}] + G_1[\mathrm{dB}] + G_3[\mathrm{dB}] + G_4[\mathrm{dB}] - A_2[\mathrm{dB}] - A_5[\mathrm{dB}]$$

Modelo lineal para el CANAL

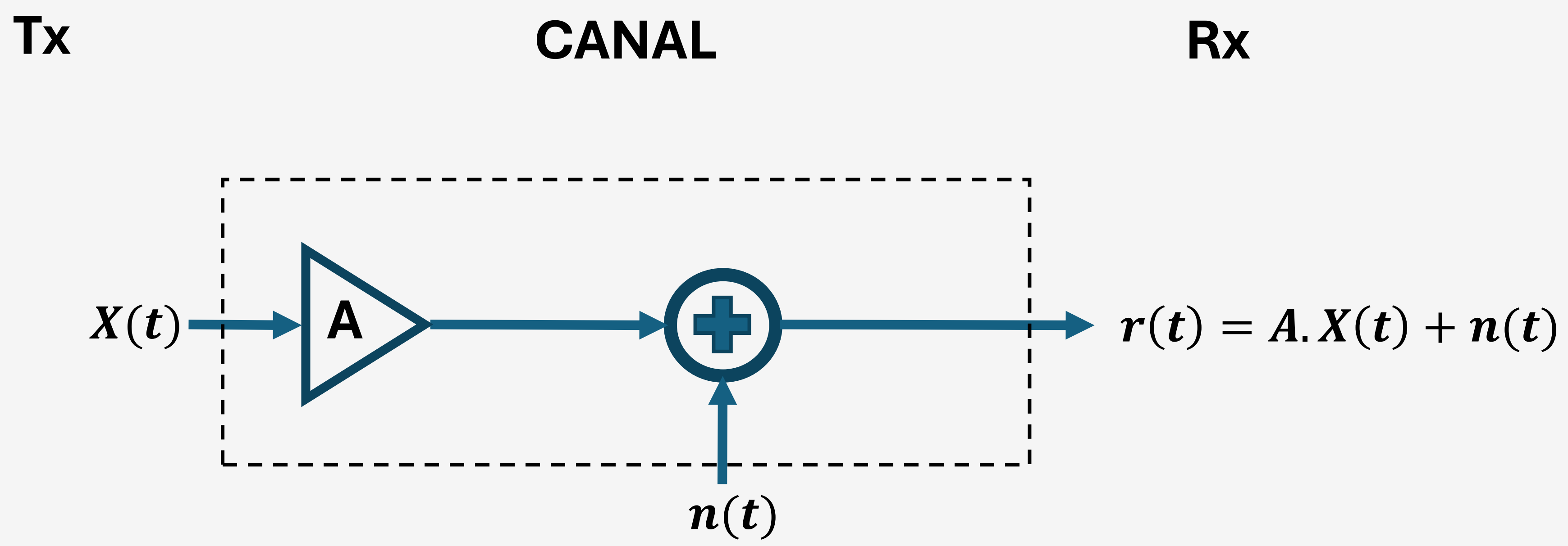

Modelo: RUIDO BLANCO GAUSSIANO

CANAL AWGN (sin limitación de ancho de banda)

Modelo lineal para el CANAL

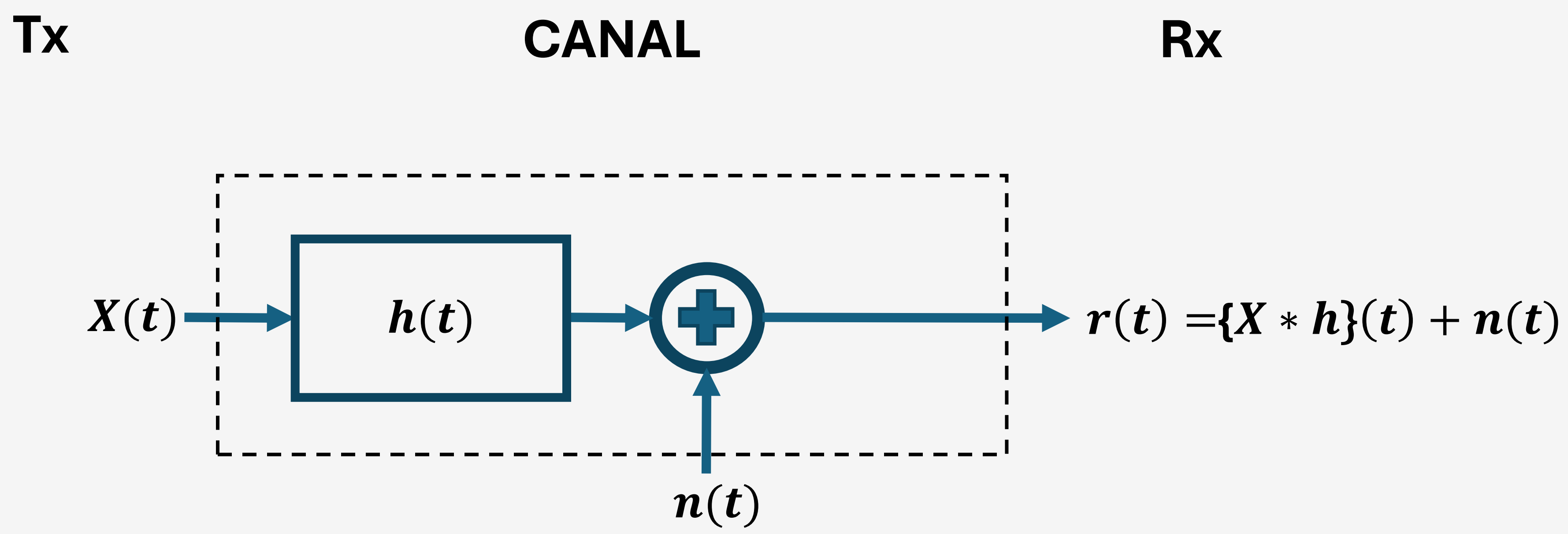

Modelo: RUIDO BLANCO GAUSSIANO

CANAL AWGN (con limitación de ancho de banda)

Modelo lineal para el CANAL

Tx **CANAL** **Rx**

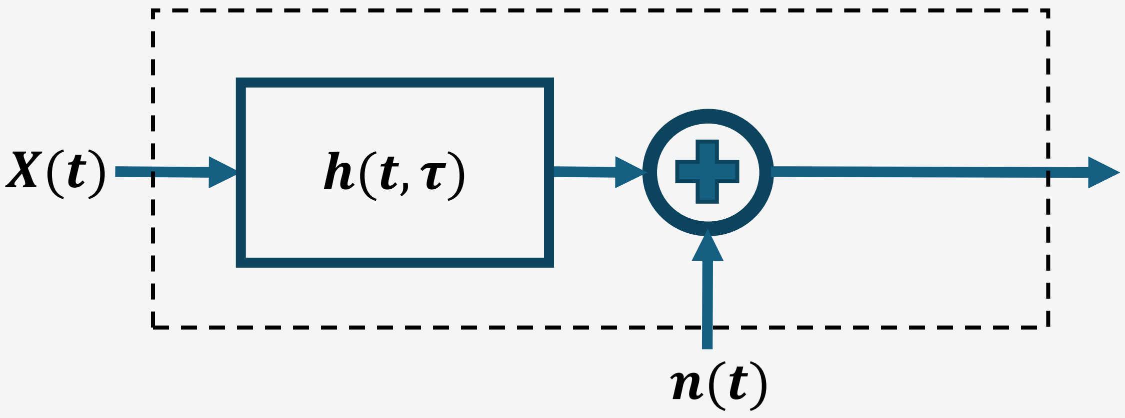

$$\boldsymbol{r(t) = \int_{-\infty}^{\infty} X(\tau)\, h(t,\tau)\, d\tau + n(t)}$$

Modelo: RUIDO BLANCO GAUSSIANO

Caso Particular:

$\boldsymbol{h(t,\tau)}$=$\sum_{k=1}^{L} a_k(t)\, \delta(t-\tau-\tau_k(t))$

$\boldsymbol{r(t)}$=$\sum_{k=1}^{L} a_k(t)\, X(t-\tau-\tau_k(t)) + n(t)$

CANAL AWGN (variante en el tiempo)

Fuentes:

- Auditory Transduction by Brandon Pletsch.
- Dancing outer hair cell. J Santos – Sacchi.
- Modelo Lineal para la precepción de la Altura Tonal. TF. FI-UNLP.
- Principles of Communications, 5/E by Rodger Ziemer and William Tranter, John Wiley & Sons. Inc.
- www.itu.int
- www.enacom.gob.ar
- Principles of Communications, 5/E by Rodger Ziemer and William Tranter, John Wiley & Sons. Inc.
- Signals and Systems (Prentice-Hall signal processing series) by Alan V. Oppenheim.
- Manual generador RF Agilent.
- Fotografías desde Wikipedia.

Temario

- Modelo de señal aleatorio
- Promedios temporales y estadísticos
- Correlación y Densidad Espectral de Potencia (DEP)
- Proceso ESA
- Modelo de ruido blanco
- Ancho de banda equivalente de ruido
- Intercorrelación e Inter DEP

Satélite argentino SAC-D

Modelo de señal ALEATORIO

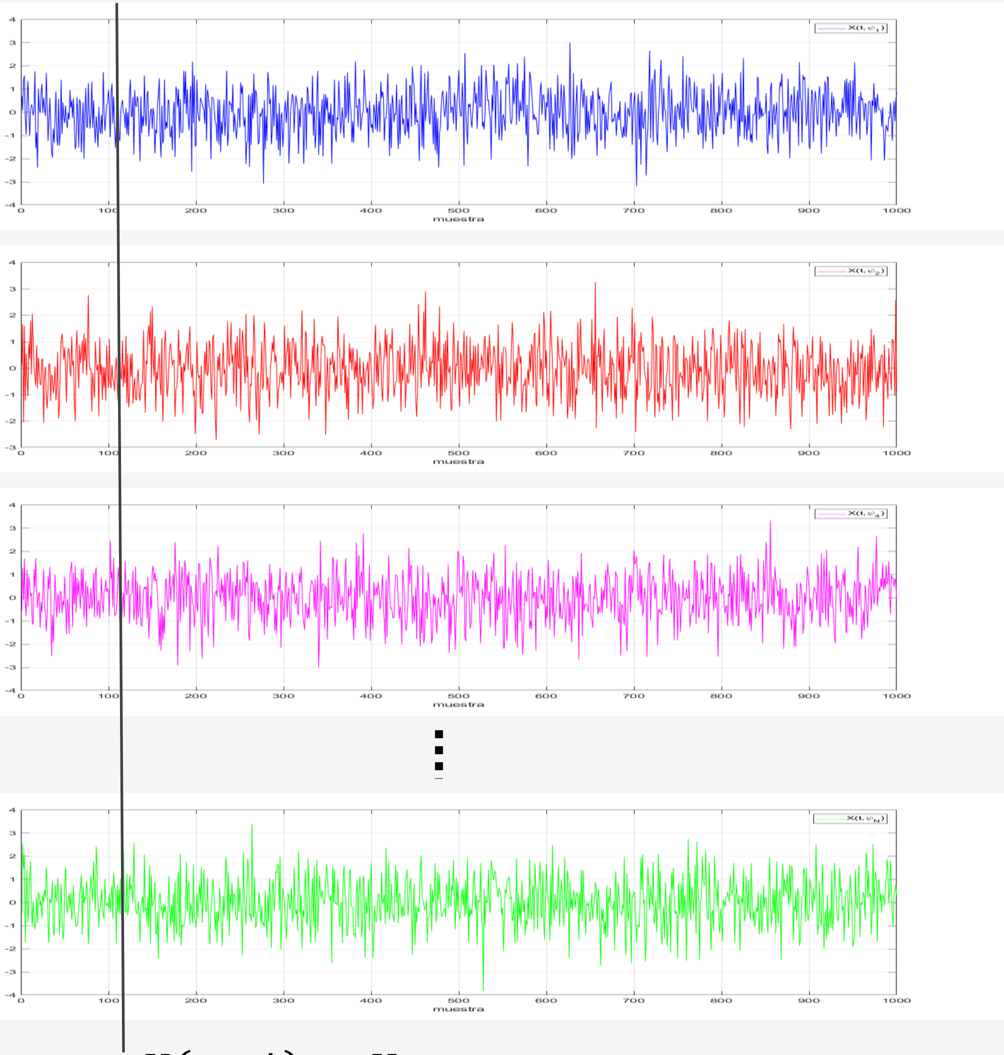

Realización 1: $X(t,\psi_1)$

Realización 2: $X(t,\psi_2)$

Realización 3: $X(t,\psi_3)$

⋮

Realización N: $X(t,\psi_N)$

$X(t_1,\psi) = X_1$ **VA** $f_{X_1}(x_{1,}t_1) \longrightarrow$ fdp

$f_{X_1}(x_{1,}t_1)$ fdp

$$F_{X_1}(x_1,t_1) = P\{X_1 \leq x_1\} = $$
$$= \int_{-\infty}^{x_1} f_{X_1}(\alpha,t_1)d\alpha$$

Proceso estocástico

$$X(t,\psi) = X(t)$$

$f_{X_i}(x_i,t_{i,})$, $\forall\ t_i \in \mathbb{R}$

$f_{X_{i,}X_j}(x_i,x_j;t_i,t_j)$, $\forall\ t_i,t_j$

$f_{X_{i,}X_{j,}X_k}(x_i,x_j,x_k;t_i,t_j,t_k)$, $\forall\ t_i,t_j,t_k$

⋮

Modelo de señal ALEATORIO

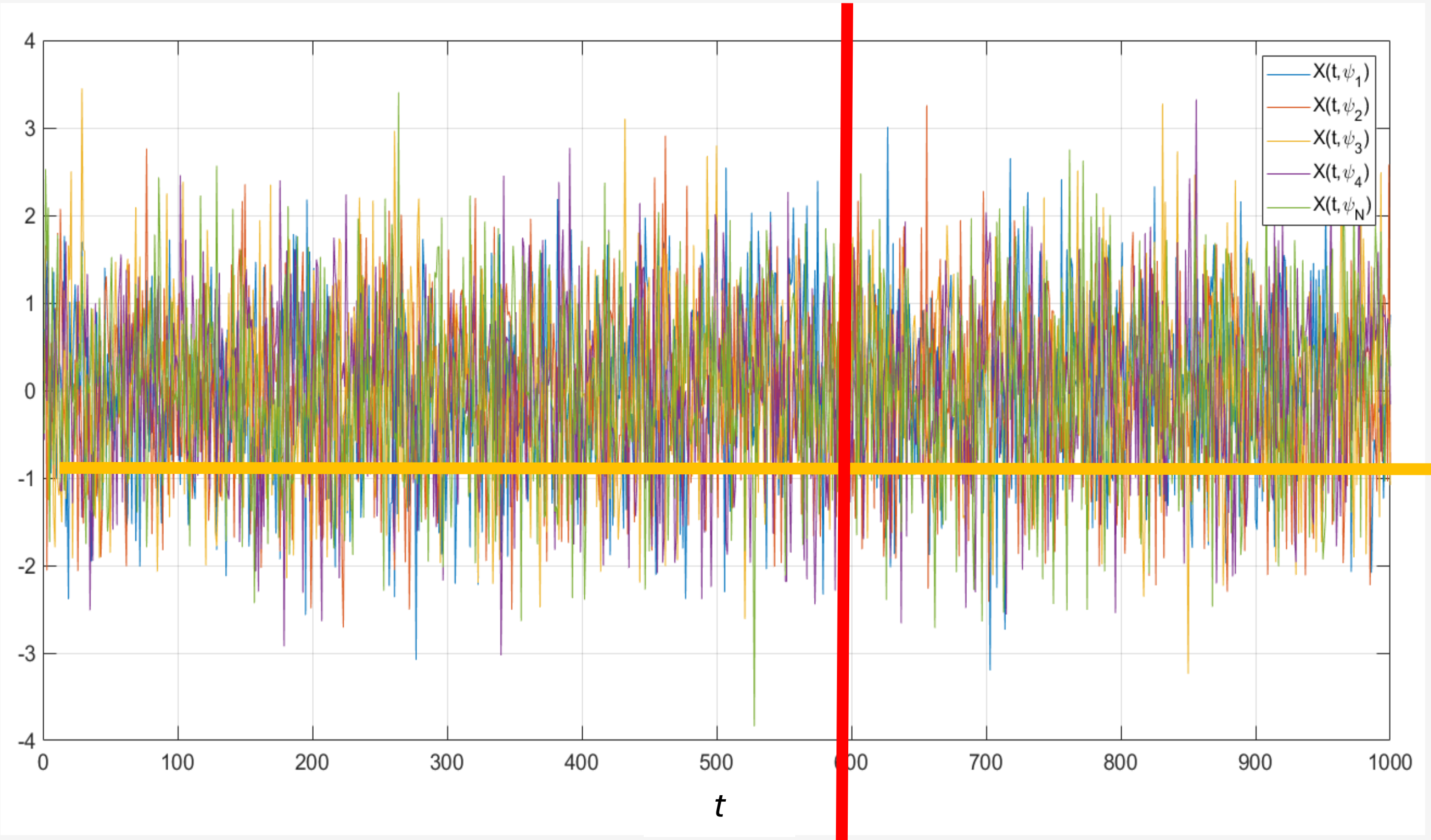

Promedios temporales

Promedios en las realizaciones

Por ejemplo:

$$< X(t) > = \lim_{T\to\infty} \frac{1}{2T} \int_{-T}^{T} X(t)\, dt$$ **VA**

$$r_{XX}(\tau) = < X(t+\tau)\, X^*(t) >$$

Por ejemplo:

$$\mu_X(t) = E\{X(t)\}$$

$$R_{XX}(t+\tau, t) = E\{X(t+\tau)X^*(t)\}$$

UNIVERSIDAD NACIONAL DE LA PLATA
POR LA CIENCIA Y POR LA PATRIA

U.N.L.P.
Fi